

Une méthode de type Galerkin discontinu pour la propagation des ondes sismiques

M. Benjemaa, S. Delcourte, L. Fezoui,
N. Glinsky-Olivier, S. Lanteri, S. Moto Pong, G. Serre

Equipe-projet NACHOS, INRIA Sophia Antipolis

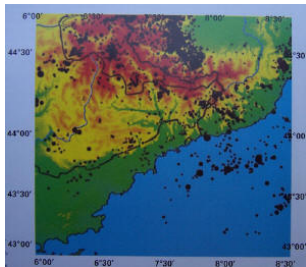
Méthodes numériques pour la propagation d'ondes en milieu élastique
Mardi 11 décembre 2007

- 1 Introduction
- 2 Equations et méthode Galerkin discontinu
- 3 Résultats numériques
- 4 Travaux en cours et perspectives

Introduction

Objectif

- Prédiction des mouvements sismiques
- Etude de scenarii:
 - simulation de la propagation d'ondes sur une configuration réelle (topographie complexe, fortes hétérogénéités)
 - simulation de la rupture des séismes



- Application à l'échelle régionale :
Modèle de Nice (ANR QSHA : Géosciences Azur, LCPC, BRGM, LGIT, CEA DAM)
- Simulations nécessitant des plateformes de calcul parallèle

Méthode historique et la plus répandue

- Méthode des différences finies
 - ↗ simplicité d'implémentation
 - ↗ précision
 - ↘ maillages cartésiens

Méthode en fort développement

- Méthode des éléments spectraux
 - ↗ précision
 - ↗ milieux complexes
 - ↘ inversion de grands systèmes

- Méthodes intégrales
 - ↗ précision
 - ↘ milieux homogènes ou à couches

- Méthode Galerkin discontinu (DG), Reed-Hill (1973) (transport des neutrons)
- Méthode des volumes finis très populaire (mécanique des fluides, électromagnétisme)
- Renouveau des méthodes DG dans les années 1990 (équations de Maxwell)
 - Extension aisée à l'ordre élevé, localement dans l'élément
 - Pas de matrice de masse globale à inverser pour un schéma explicite
 - Large choix de schémas d'intégration temporels
 - Utilisation aisée de maillages complexes
 - tétraèdres pour une meilleure prise en compte du relief et des discontinuités
 - maillage éléments finis conforme ou non conforme, voire hybride
 - raffinement local
 - Méthode hautement parallélisable (schéma explicite)
- Très peu utilisées en propagation d'ondes sismiques (M. Kaeser et al.)

- Le système à résoudre

$$\begin{cases} \rho \frac{\partial \bar{V}}{\partial t} &= \nabla \cdot \bar{\sigma} \\ \frac{\partial \bar{\sigma}}{\partial t} &= \lambda (\nabla \cdot \bar{V}) \bar{Id} + \mu (\nabla \bar{V} + {}^t(\nabla \bar{V})) \end{cases} \quad (1)$$

- Les inconnues

$$\bar{W} = {}^t(\bar{V}, \bar{\sigma}) \quad \text{où } \bar{V} = {}^t(v_x, v_y, v_z) \quad \text{et } \bar{\sigma} = {}^t(\sigma_{xx}, \sigma_{yy}, \sigma_{zz}, \sigma_{xy}, \sigma_{xz}, \sigma_{yz})$$

- Ecriture sous forme matricielle

$$\frac{\partial \bar{W}}{\partial t} + \sum_{m=1}^3 \bar{A}_m(\rho, \lambda, \mu) \frac{\partial \bar{W}}{\partial x_m} = 0 \quad (2)$$

\bar{A}_m matrices extra-diagonales par blocs

- Le système est hyperbolique

Pour tout vecteur non nul $\bar{n} = {}^t(n_x, n_y, n_z)$, la matrice

$$\overline{\overline{A}}_n(\rho, \lambda, \mu) = \sum_{m=1}^3 n_m \overline{\overline{A}}_m(\rho, \lambda, \mu)$$

est diagonalisable sur \mathbb{R}

- Vitesses d'ondes

Les valeurs propres λ_k , $k = 1, \dots, 9$ de $\overline{\overline{A}}_n$ sont :

$$\lambda_{1,2} = \pm V_p \|\bar{n}\| \quad \lambda_{3,4} = \pm V_s \|\bar{n}\| \quad \lambda_{5,6} = \pm V_s \|\bar{n}\| \quad \lambda_{7,8,9} = 0$$

Vitesses des ondes P et S

$$V_p = \sqrt{\frac{\lambda + 2\mu}{\rho}} \quad V_s = \sqrt{\frac{\mu}{\rho}}$$

La méthode Galerkin discontinu

Discrétisation spatiale et base d'interpolation

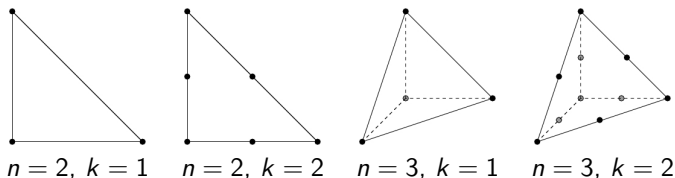
- Discrétisation de type éléments finis en triangles ou tétraèdres

$$\Omega \approx \bigcup_{i=1}^{nt} T_i$$

- Interpolation de Lagrange sur les simplexes
 \mathbb{P}^n ensemble des polynômes de degré n sur chaque élément T_i
 ϕ_k , $k = 1, \dots, nk$ fonctions de base de \mathbb{P}^n

$$\phi_j(X_i) = \delta_{ij} \quad i, j = 1, \dots, nk \quad nk = [(k+1) \dots (k+n)] / n$$

- Les points d'interpolation X_i



- Intégration sur T_i

$$\int_{T_i} \left[\frac{\partial \bar{W}}{\partial t} + \sum_{m=1}^3 \bar{A}_m(\rho, \lambda, \mu) \frac{\partial \bar{W}}{\partial x_m} \right] \phi_k dX = 0$$

- ρ , λ et μ constants sur T_i

$$\underbrace{\int_{T_i} \frac{\partial \bar{W}}{\partial t} \phi_k dX}_1 + \underbrace{\sum_{m=1}^3 \bar{A}_m^{T_i} \cdot \int_{T_i} \frac{\partial \phi_k}{\partial x_m} \bar{W} dX}_2 + \underbrace{\bar{A}_n^{T_i} \cdot \int_{\partial T_i} \phi_k \bar{W} ds}_3 = 0$$

\bar{n} normale sortante à ∂T_i .

- Projection des composantes de \bar{W} dans la base des ϕ_k

$$W(X, t) = \sum_{j=1}^{nk} W_j(t) \phi_j(X)$$

Les $W_j(t)$ sont les degrés de liberté sur T_i .

- Intégrale 1 : terme temporel

$$k = 1, \dots, nk \quad \int_{T_i} \frac{\partial W}{\partial t} \phi_k dX = \sum_{j=1}^{nk} \frac{dW_j(t)}{dt} \int_{T_i} \phi_j \phi_k dX = \overline{\overline{M}}^{T_i} \cdot \frac{d\overline{\overline{W}}(t)}{dt}$$

$\overline{\overline{M}}^{T_i}$ matrice de masse locale sur T_i et $\overline{\overline{W}}(t) = (W_j(t))_{j=1, \dots, nk}$.

- Intégrale 2 volumique

$$k = 1, \dots, nk \quad \sum_{m=1}^3 \overline{\overline{A}}_m^{T_i} \cdot \int_{T_i} \frac{\partial \phi_k}{\partial x_m} \overline{\overline{W}}(t) dX = \sum_{m=1}^3 \sum_{j=1}^{nk} G_{m,jk}^{T_i} \overline{\overline{A}}_m^{T_i} \cdot \overline{\overline{W}}_j(t)$$

$$G_{m,jk}^{T_i} = \int_{T_i} \phi_j \frac{\partial \phi_k}{\partial x_m} dX.$$

La méthode Galerkin discontinu

Intégrales de surface : a) faces internes

- Décomposition de ∂T_i :
a) $T_i \cap T_l$, b) face libre c) face absorbante d) faille.
- Intégrale 3 pour une face interne : a) $T_i \cap T_l = S_{il}$

$$\overline{\overline{A_{n_{S_{il}}}}^{T_i}} \int_{S_{il}} \phi_k \overline{W} ds$$

Schéma centré à l'interface S_{il}

$$\overline{W}^{S_{il}} = \frac{1}{2} (\overline{W}^{T_i} + \overline{W}^{T_l})$$

Projection de \overline{W}^{T_i/T_l} sur T_i/T_l , $W^{T_i} = \sum_{j=1}^{nk} W_j^{T_i} \phi_j^{T_i}$ et $W^{T_l} = \sum_{j=1}^{nk} W_j^{T_l} \phi_j^{T_l}$

$$\overline{\overline{A_{n_{S_{il}}}}^{T_i}} \cdot \int_{S_{il}} \phi_k \overline{W} ds = \sum_{j=1}^{nk} \frac{1}{2} \overline{\overline{A_{n_{S_{il}}}}^{T_i}} \cdot \left[\int_{S_{il}} \phi_j^{T_i} \phi_k^{T_i} ds \cdot \overline{W}_j^{T_i} + \int_{S_{il}} \phi_j^{T_l} \phi_k^{T_l} ds \cdot \overline{W}_j^{T_l} \right]$$

- Pour une composante W de \overline{W} , on obtient

$$\overline{M}^{T_i} \cdot \frac{d\overline{W}}{dt} = \overline{F}^{T_i}$$

avec $\overline{W} = (W_j)$, $j = 1, \dots, nk$.

- Schéma saute-mouton (L. Fézoui, S. Piperno)
vitesses au temps $(n - \frac{1}{2})\Delta t$ et contraintes au temps $n\Delta t$

$$\begin{cases} \overline{M}^{T_i} \left(\overline{W}_v^{n+\frac{1}{2}} - \overline{W}_v^{n-\frac{1}{2}} \right) = \Delta t \overline{F}_v^{T_i} \left(\overline{V}^{n-\frac{1}{2}}, \overline{S}^n \right) \\ \overline{M}^{T_i} \left(\overline{W}_\sigma^{n+1} - \overline{W}_\sigma^n \right) = \Delta t \overline{F}_\sigma^{T_i} \left(\overline{V}^{n+\frac{1}{2}}, \overline{S}^n \right) \end{cases}$$

\overline{W}_v composante de \overline{V} (dimension nk)

\overline{W}_σ composante de $\overline{\sigma}$ (dimension nk)

$\overline{V}^{n-\frac{1}{2}}$ composantes de \overline{V} au temps $(n - \frac{1}{2}) \Delta t$ (dimension $3 \times nk$)

\overline{S}^n composantes de $\overline{\sigma}$ au temps $n\Delta t$ (dimension $6 \times nk$)

La méthode Galerkin discontinu

Définition et étude d'énergie

- Energie discrète

$$E^n = \frac{1}{2} \sum_i \left[\int_{T_i} \rho \left(\overline{V}^{n-\frac{1}{2}} \right)^t \overline{V}^{n+\frac{1}{2}} dX + \int_{T_i} (\overline{\sigma}^n)^t \overline{\Lambda}(\lambda, \mu) \overline{\sigma}^n dX \right]$$

Λ matrice issue de la symétrisation du système

- L'énergie du système est conservée en l'absence de conditions aux limites

$$\Delta E = E^{n+1} - E^n = 0$$

\implies schéma non diffusif

- Schéma stable sous condition de type CFL

La méthode Galerkin discontinu

Intégrales de surface b) faces libres, c) faces absorbantes

- Intégrale 3 pour une face libre : b) S_i^{libre}

Condition physique

$$\bar{\sigma} = 0$$

A l'interface

$$\bar{W}^{S_i^{libre}} = {}^t(v_x, v_y, v_z, 0, 0, 0, 0, 0)$$

$$\overline{\overline{A_{n_{S_i^{libre}}}}} T_i \cdot \int_{S_i^{libre}} \phi_k \bar{W} ds = \sum_{j=1}^{nk} \overline{\overline{A_{n_{S_i^{libre}}}}} T_i \cdot \int_{S_i^{libre}} \phi_j^{T_i} \phi_k^{T_i} ds \cdot \bar{W}_j^{S_i^{libre}}$$

- Intégrale 3 pour une face absorbante : c) S_i^{abs}

Technique de décentrage

$$\overline{\overline{A_{n_{S_i^{abs}}}}} T_i \int_{S_i^{abs}} \phi_k \bar{W} ds \approx \left[\overline{\overline{A_{n_{S_i^{abs}}}}} T_i \right]^+ \int_{S_i^{abs}} \phi_k \bar{W} ds$$

Contribution des ondes sortantes uniquement, annulation des ondes entrantes

$$\overline{\overline{A_{n_{S_i^{abs}}}}} T_i \cdot \int_{S_i^{abs}} \phi_k \bar{W} ds = \sum_{j=1}^{nk} \left[\overline{\overline{A_{n_{S_i^{abs}}}}} T_i \right]^+ \cdot \int_{S_i^{abs}} \phi_j^{T_i} \phi_k^{T_i} ds \cdot \bar{W}_j^{T_i}$$

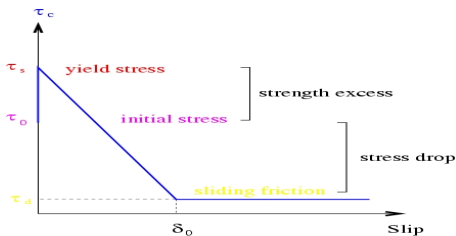
La méthode Galerkin discontinu

Intégrales de surface d) faces de la faille

- Contact parfait avec frottement sur la faille
→ discontinuité localisée des champs élastiques
- Faille prédéfinie évolutive dans le domaine (maillage) : S_{ij}
- Modes cisailants : vecteur traction $\bar{T} = \bar{\sigma} \bar{n}$

$$\bar{T} = \bar{T}_N + \bar{T}_T$$

- \bar{T}_N et \bar{V}_N continues
- Les tractions sur la faille évoluent en fonction du frottement
- Loi SWF Slip Weakening Friction



$\| T_T \|$

Processus itératif

- Tant que $\| \bar{T}_T \| \leq \mu_s \sigma_N$ la face n'est pas cassée $\sigma_N = \bar{n} \cdot \bar{\sigma} \bar{n}$
- Dès que $\| \bar{T}_T \| \geq \mu_s \sigma_N$ on applique la loi de SWF

$$\| \bar{T}_T \| = \mu \sigma_N$$

μ fonction du glissement $U(t)$

$$U(t) = \int_0^t \| \bar{V}(s, x) \| ds$$

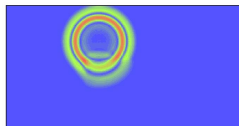
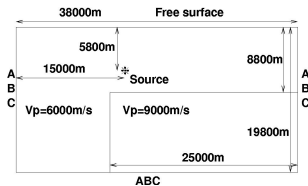
\bar{V} vitesse de glissement

$$\bar{V} = \bar{V}_T^+ - \bar{V}_T^-$$

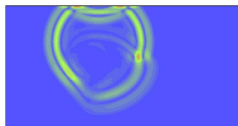
- Condition imposée dans l'intégrale de surface S_{ij}
 - décentrée pour les variables discontinues
 - centrée pour les variables continues
 - contrôlée par le bilan d'énergie

Résultats numériques

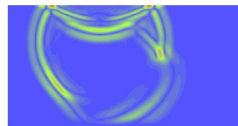
Volumes finis 2D - Corner edge



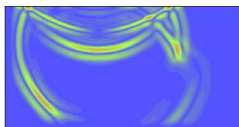
t=1. s



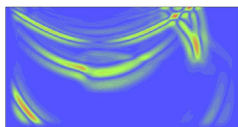
t=1.5 s



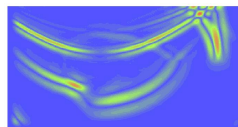
t=2. s



t=2.5 s



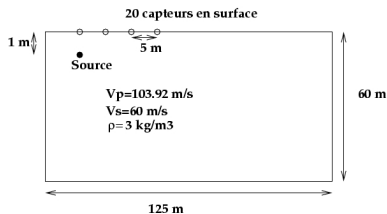
t=3. s



t=3.5 s

Cas test de Garvin

- Source explosive dans un demi-domaine infini

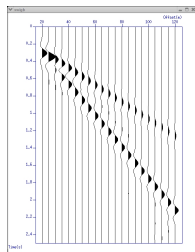


- $\rho = 1$, $V_p=103.92$ m/s, $V_s=60$ m/s
- Domaine $[0, 120] \times [0, 60]$, source en $\bar{X}_s = (20, 59)$
- Ricker $s(t) = [-1 + 2\alpha(t - t_0)^2] \exp^{-\alpha(t-t_0)^2}$, $t_0=0.301$, $\alpha=159.42$
- Second membre sur σ_{xx} et σ_{yy} $s(t)\delta(\bar{X}_s)$ dans le triangle T_s

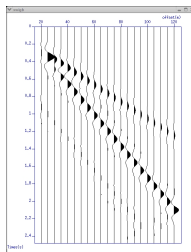
$$s(t) \int_{T_s} \delta(\bar{X}_s) \phi_k^{T_s} dX = s(t) \phi_k^{T_s}(\bar{X}_s)$$

Cas test de Garvin

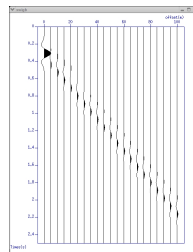
Sismogrammes différences finies et Galerkin discontinu (DGP2)



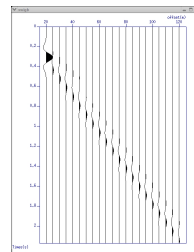
v_x différences finies



v_x DG



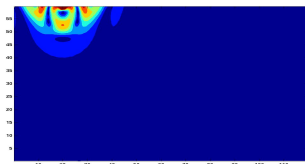
v_y différences finies



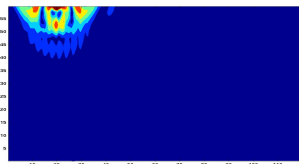
v_y DG

Cas test de Garvin

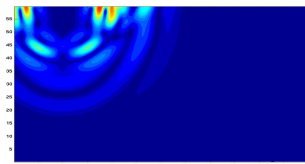
Isovaleurs de la norme de la vitesse, DGP3 40000 triangles



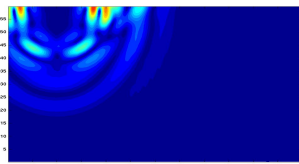
Différences finies



DGP3 $t=0.612s$



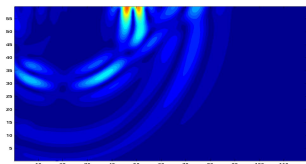
Différences finies



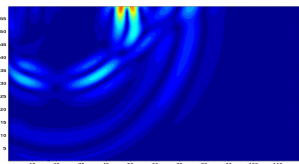
DGP3 $t=0.816s$

Cas test de Garvin

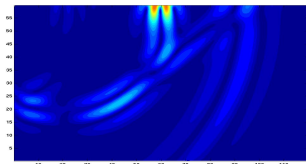
Isovaleurs de la norme de la vitesse, DGP3 40000 triangles



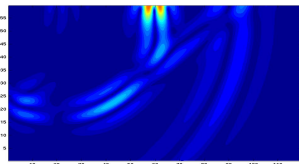
Différences finies



DGP3 $t=1.02s$



Différences finies



DGP3 $t=1.224s$

Mode propre dans une cavité homogène 2D

- Domaine $[0, 1] \times [0, 1]$, frontières libres

$$\begin{cases} v_x &= \Omega \cos \pi x \sin \pi y \cos \Omega t \\ v_y &= -\Omega \sin \pi x \cos \pi y \cos \Omega t \\ \sigma_{xx} &= -A \sin \pi x \sin \pi y \sin \Omega t \\ \sigma_{yy} &= A \sin \pi x \sin \pi y \sin \Omega t \\ \sigma_{xy} &= 0 \end{cases}$$

$$A = 2\pi\mu \text{ et } \Omega = \sqrt{2\pi} V_s.$$

- Définition de l'erreur L^2

$$E_{L^2} = \left[\int_{\Omega} \left(\overline{W}(n\Delta t) - \overline{W}^n \right) \cdot \left(\overline{W}(n\Delta t) - \overline{W}^n \right) \right]^{\frac{1}{2}}$$

après projection

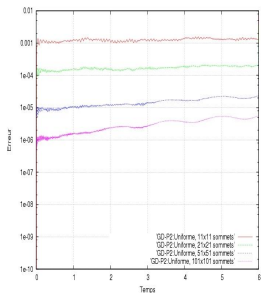
$$E_{L^2} = \left[\sum_{l=1}^{nt} \sum_{j=1}^{nk} \sum_{k=1}^{nk} M_{jk}^{T_l} \left(\overline{W}_j(n\Delta t) - \overline{W}_j^n \right) \cdot \left(\overline{W}_k(n\Delta t) - \overline{W}_k^n \right) \right]^{\frac{1}{2}}$$

Méthode Galerkin discontinu - 2D

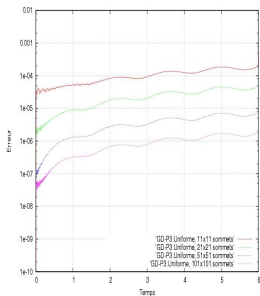
Mode propre dans une cavité homogène 2D

Evolution en temps de l'erreur pour différents maillages

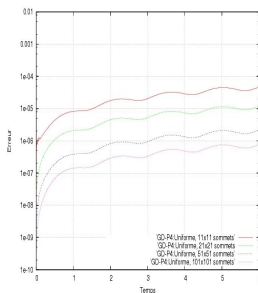
M1 : $h \simeq 10^{-1}$ - M2 : $h \simeq 5.10^{-2}$ - M3 : $h \simeq 2.10^{-2}$ - M4 : $h \simeq 10^{-3}$



DG-P2



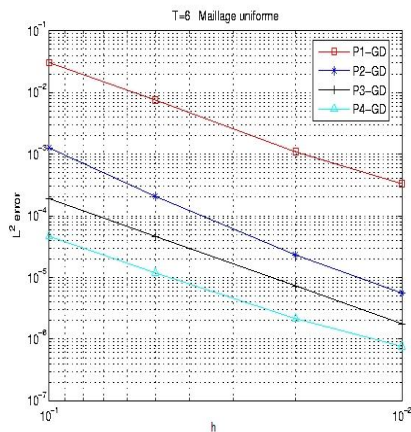
DG-P3



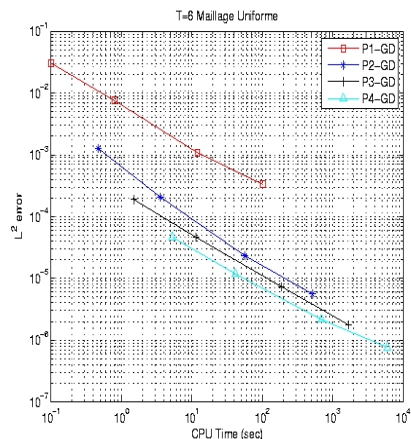
DG-P4

Méthode Galerkin discontinu - 2D

Mode propre dans une cavité homogène 2D



E_{L^2} en fonction de h

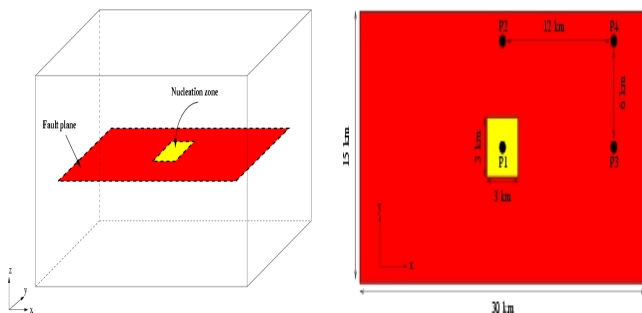


E_{L^2} en fonction du temps CPU

Résultats numériques

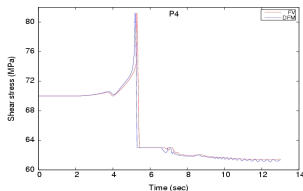
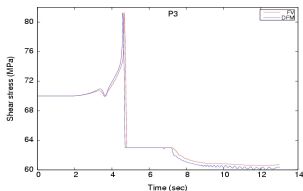
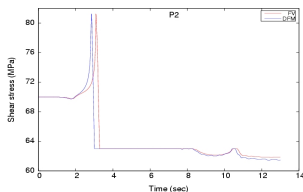
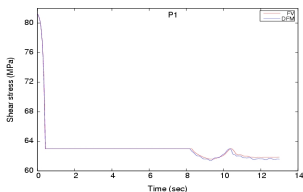
Volumes finis 3D - Faille plane

- Faille plane 3D, SCEC benchmark (Harris et al., 2004)
- Milieu linéaire élastique homogène : $\rho = 2670 \text{ kg/m}^3$, $v_p = 6000 \text{ m/s}$, $v_s = 3464 \text{ m/s}$
- $\tau_s = 81.24 \text{ MPa}$, $\tau_d = 63 \text{ MPa}$, $\tau_0 = 70 \text{ MPa}$, $\delta_0 = 0.4 \text{ m}$
- 100 processeurs (stratégie de communication MPI)
- $\Delta t = 8 \cdot 10^{-3} \text{ s}$, temps CPU $\simeq 1 \text{ h } 25 \text{ mn}$



Résultats numériques

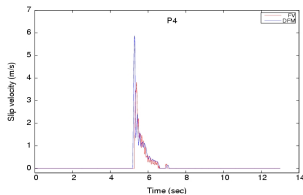
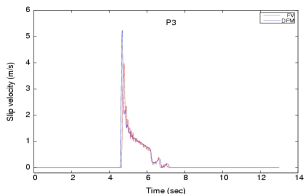
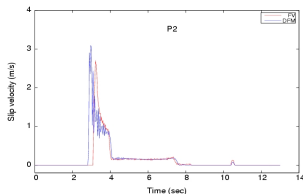
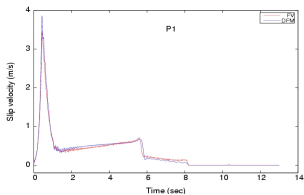
Volumes finis 3D - Faille plane



Comparaison des contraintes de cisaillement aux capteurs
Différences finies en bleu (Day et al., 2005)

Résultats numériques

Volumes finis 3D - Faille plane

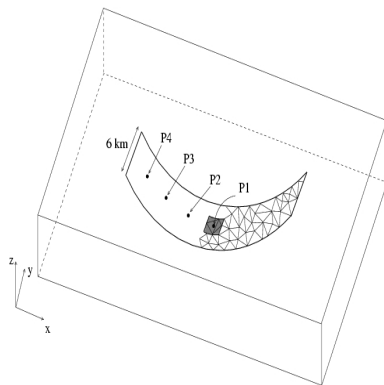


Comparaison des vitesses de glissement aux capteurs
Différences finies en bleu (Day et al., 2005)

Résultats numériques

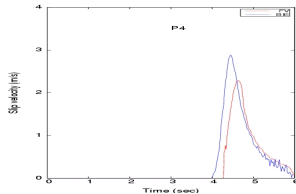
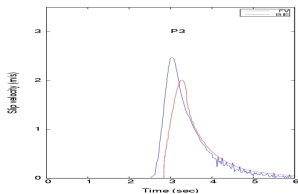
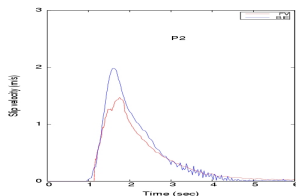
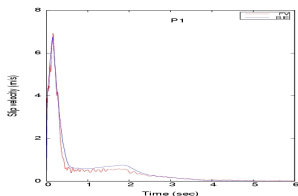
Volumes finis 3D - Faille parabolique

- Faille parabolique dans un milieu linéaire élastique homogène
- $\rho = 2670 \text{ kg/m}^3$, $v_p = 6000 \text{ m/s}$, $v_s = 3464 \text{ m/s}$
- $\tau_s = 81.24 \text{ MPa}$, $\tau_d = 63 \text{ MPa}$, $\tau_0 = 73.73 \text{ MPa}$, $\delta_0 = 0.8 \text{ m}$
- 64 processeurs (stratégie de communication MPI)
- $\Delta t = 2.1 \cdot 10^{-3} \text{ s}$, temps CPU $\simeq 33 \text{ mn}$



Résultats numériques

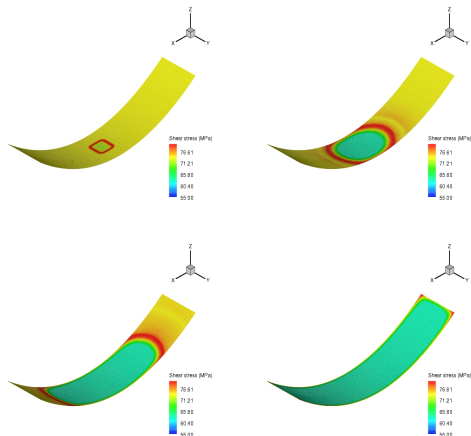
Volumes finis 3D - Faille parabolique



Comparaison des vitesses de glissement
Méthodes intégrales en bleu (H. Aochi et al., 2000)
Solution volumes finis filtrées $\eta = 0.2$

Résultats numériques

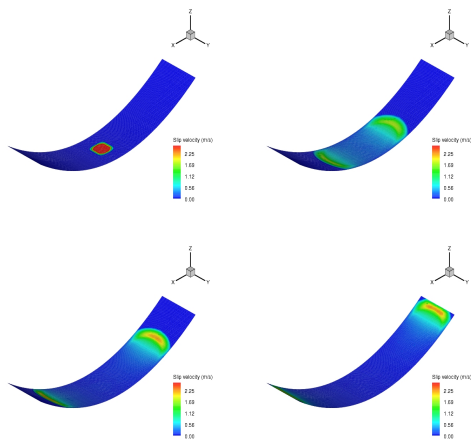
Volumes finis 3D - Faille parabolique



Isovaleurs des contraintes de cisaillement

Résultats numériques

Volumes finis 3D - Faille parabolique



Isovaleurs de la vitesse de glissement

- Propriétés de la méthode DG pour l'élastodynamique
- Simulations de propagation 2D et 3D plus réalistes
- Simulation de la rupture par une méthode DG
- Conditions aux limites (PML, absorbantes d'ordre supérieur)
- Schémas en temps d'ordre supérieur